

Figura 4.13 Procedimiento de compactación estática isotropa (tensión controlada).

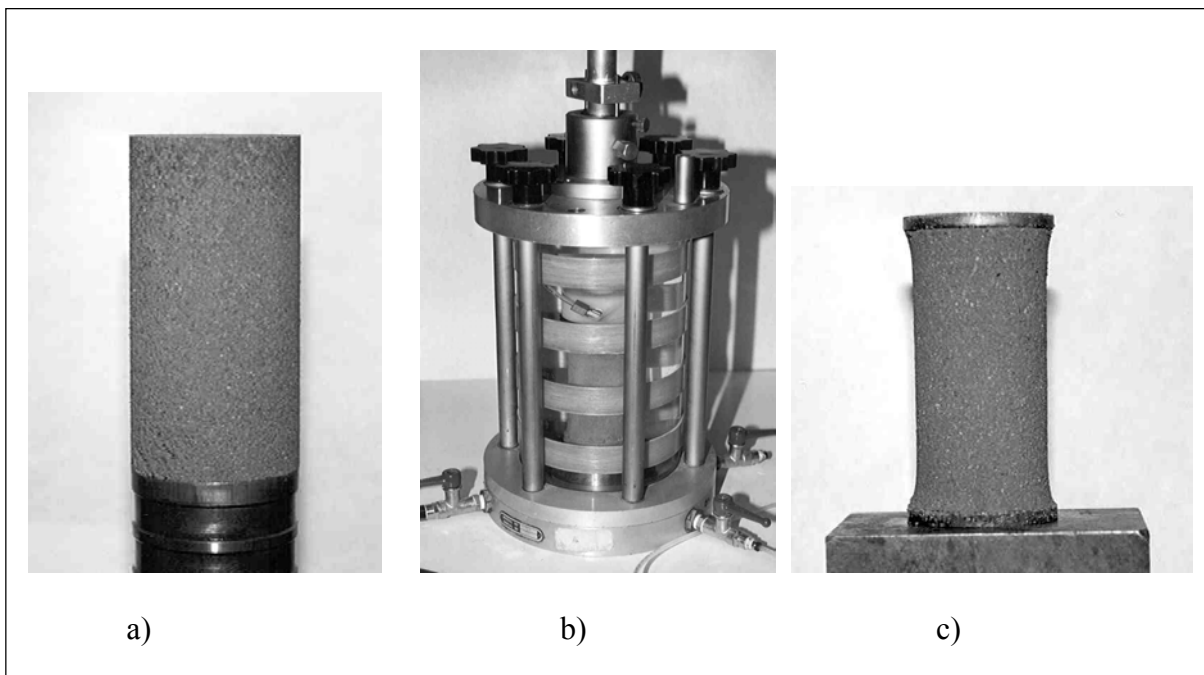


Figura 4.14 Fotografías de las etapas del procedimiento de compactación isotropa.

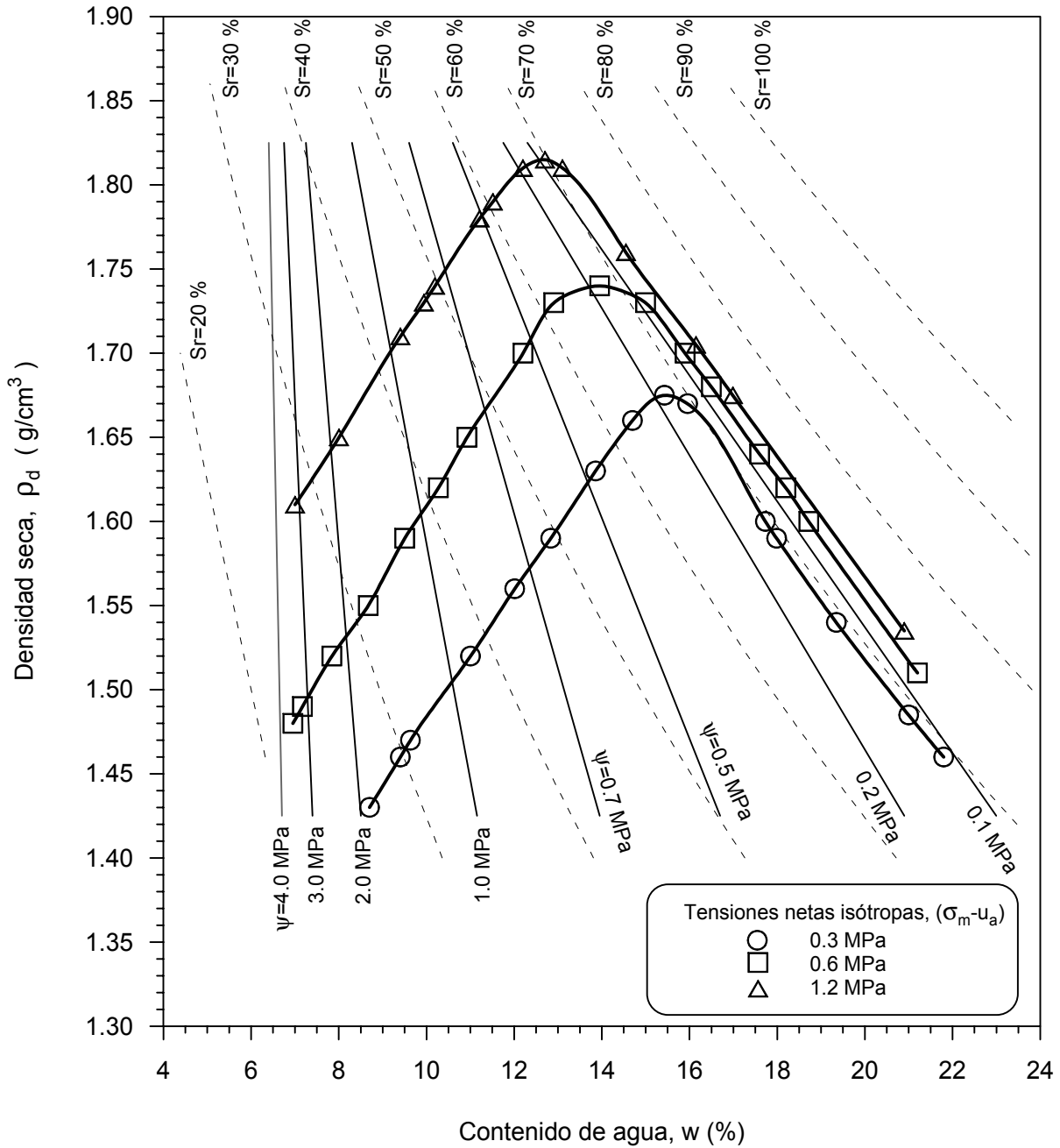


Figura 4.15 Curvas de compactación para tres tensiones isotrópicas (para el suelo en estudio, arcilla de baja plasticidad de BCN). Las líneas sólidas indican los contornos de igual succión total después de la compactación.

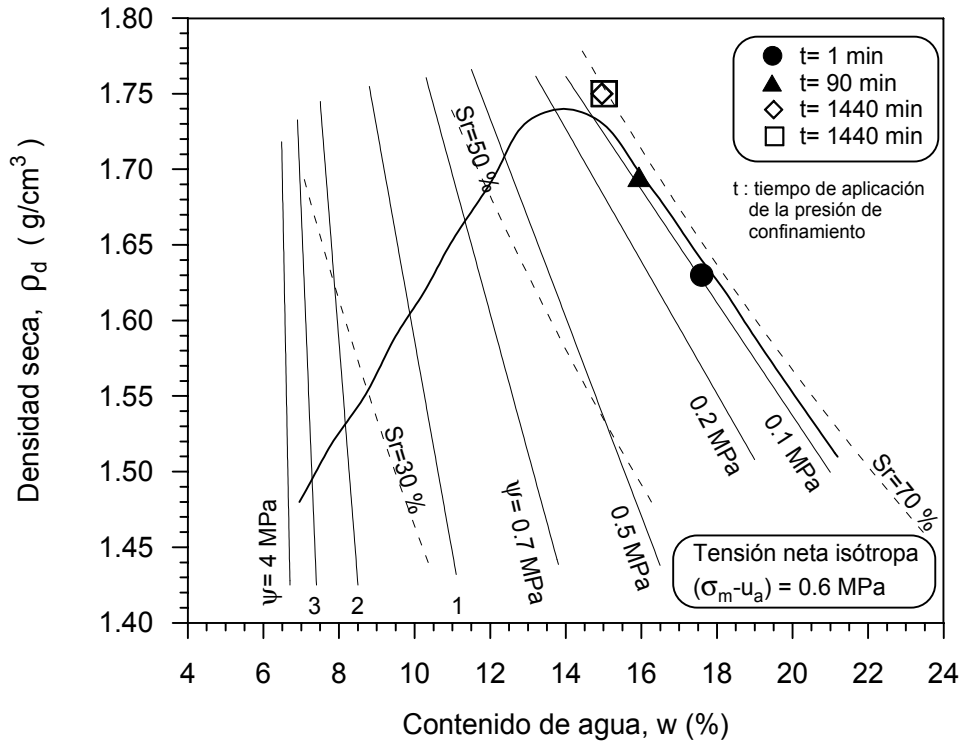


Figura 4.16 Comprobación del tiempo de aplicación de la presión isotrópica y la disipación del exceso de presión de poros.

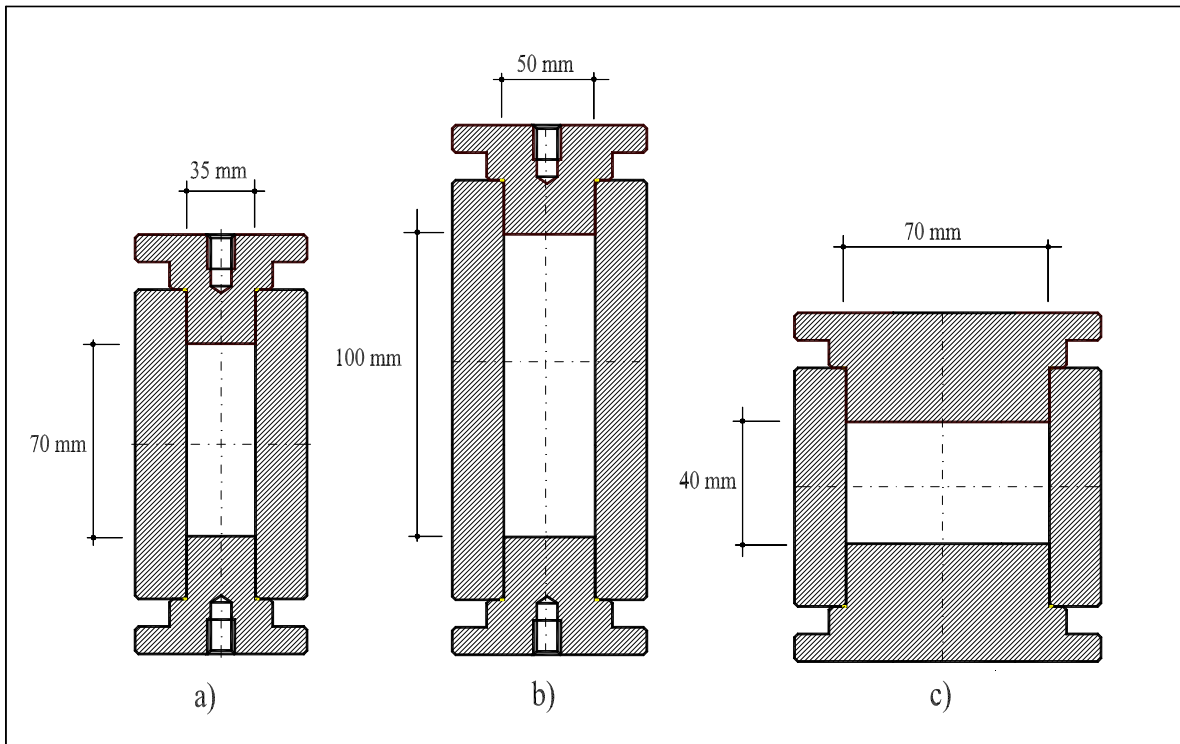


Figura 4.17 Moldes cilíndricos utilizados para la fabricación de probetas en la primera etapa de la compactación estática en condiciones isotrópicas.

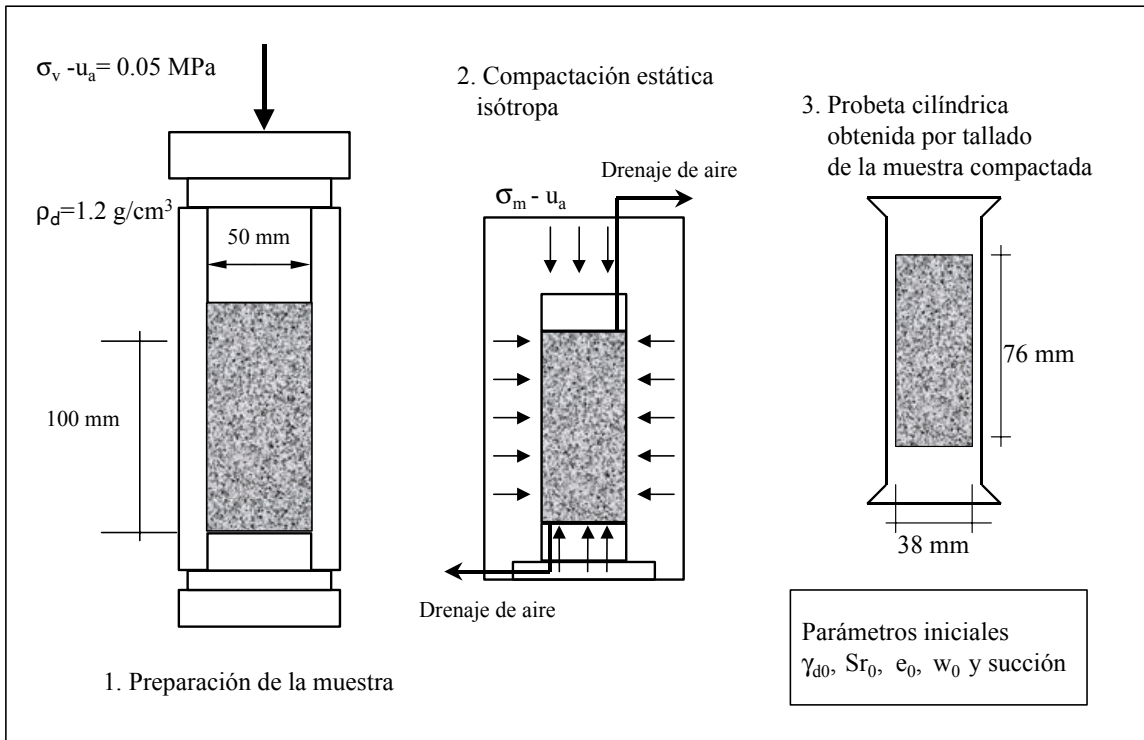


Figura 4.18 Técnica de preparación de las muestras a ensayar ($\phi=38 \text{ mm}$, $h=76 \text{ mm}$).

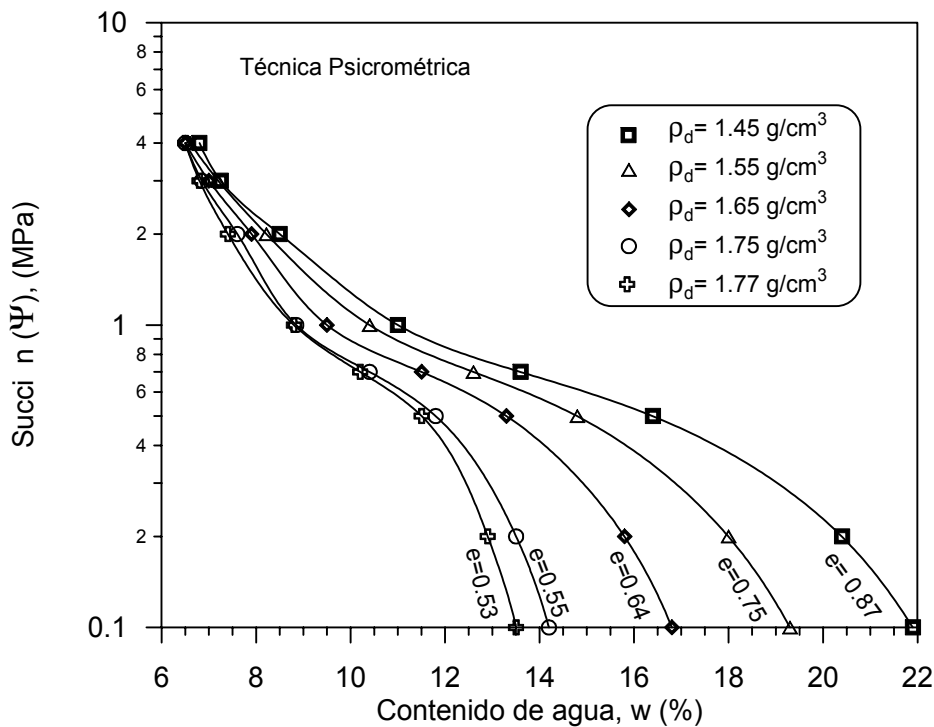


Figura 4.19 Relación entre la succión total (Ψ) y contenido de agua (w), para diferentes densidades secas (ρ_d) a porosidad constante (Técnica Psicrométrica).

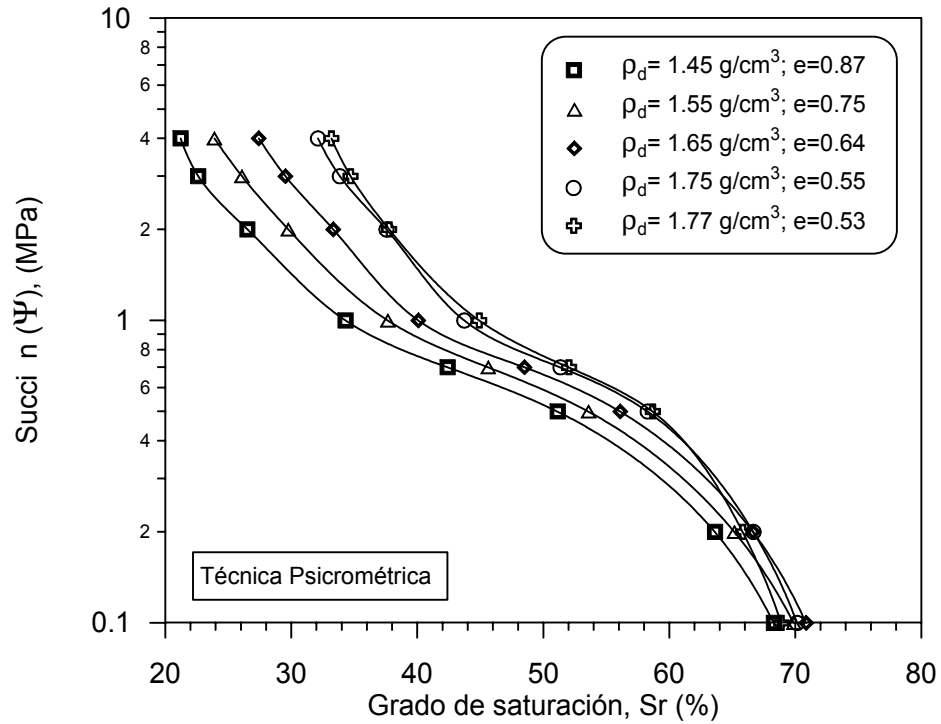


Figura 4.20 Curva de retención (succión vs. grado de saturación) a porosidad constante.

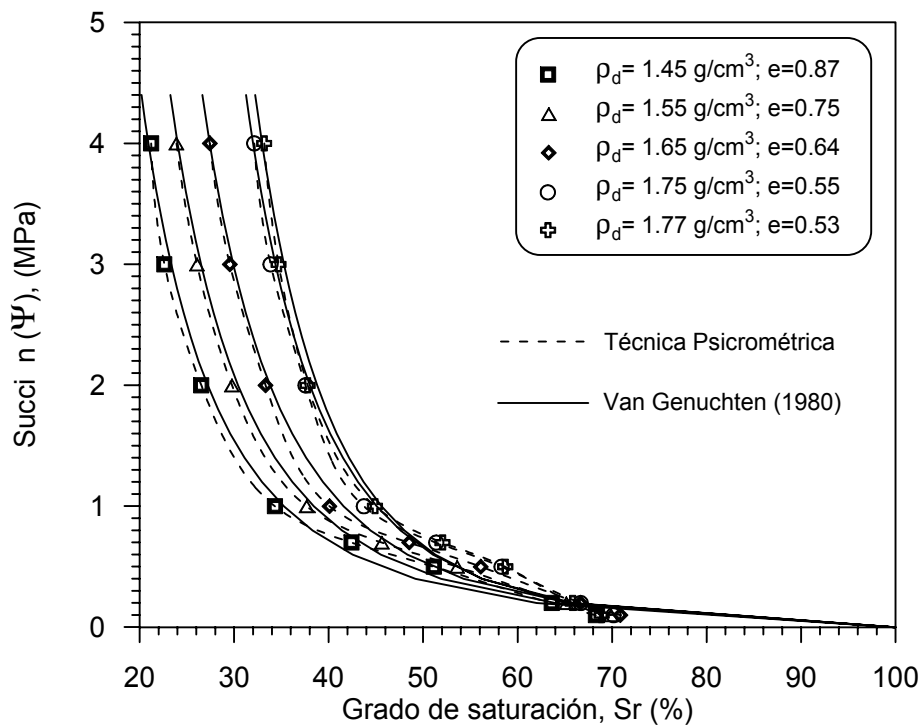


Figura 4.21 Comparación de la relación succión total – grado de saturación obtenidas con la expresión de Van Genuchten y los datos experimentales (técnica psicrométrica).

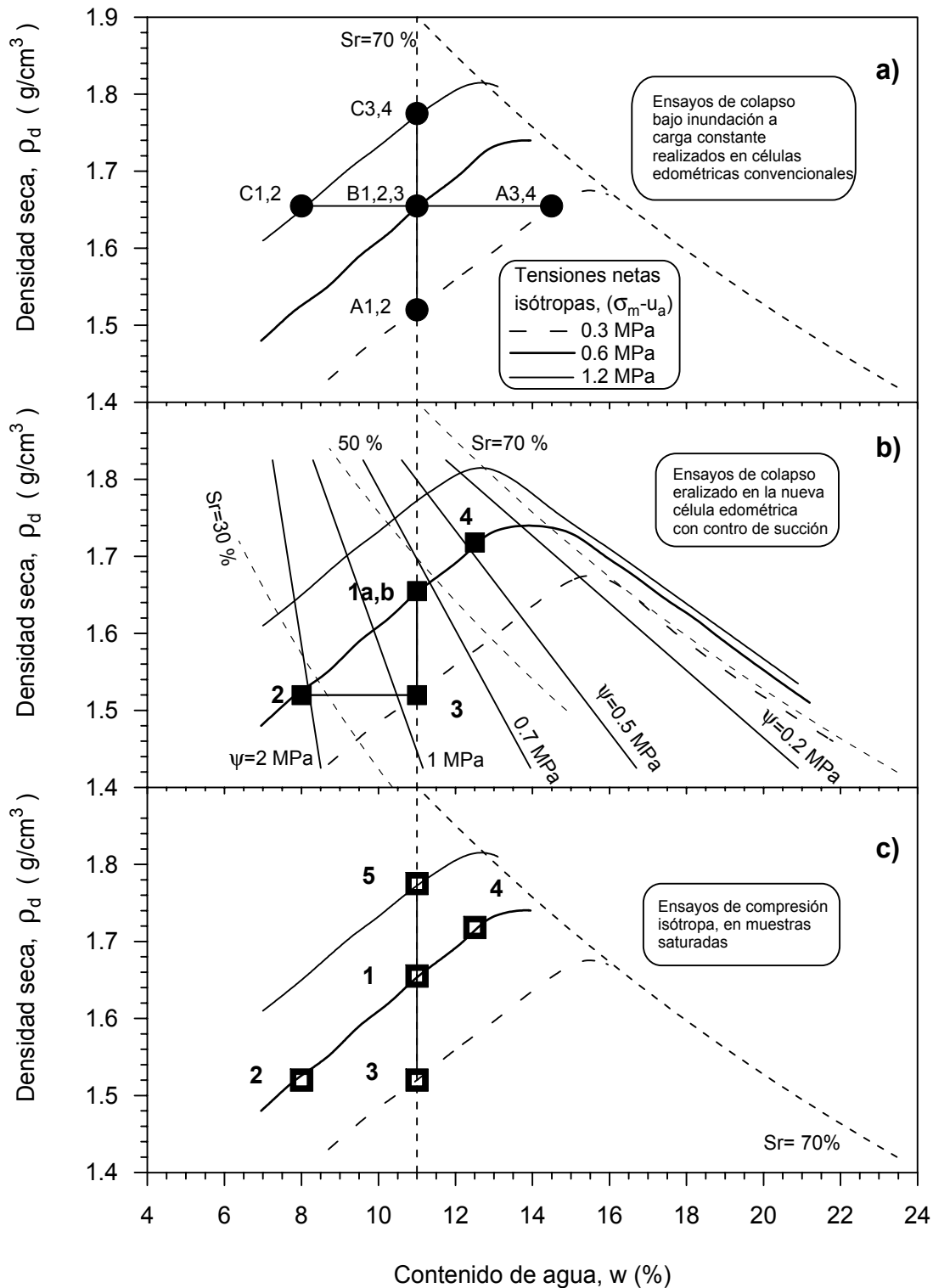


Figura 4.22 Condiciones iniciales: a) grupo de ensayos de colapso bajo inundación a carga constante (edómetro convencional); b) ensayos de colapso con y sin control de la succión matricial (nueva célula edométrica con control succión); y c) ensayos de compresión isotrópica en muestras saturadas.